

Fig. 2

TARGET SEQUENCE,
5' ACGTACGTACGTACGT 3'

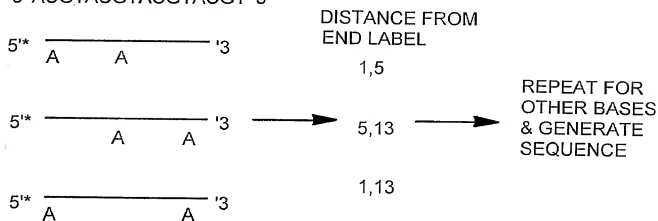
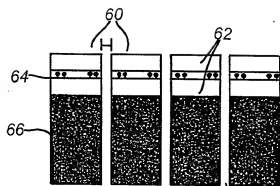
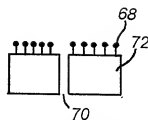
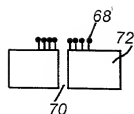
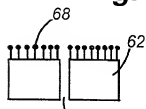
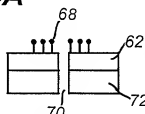
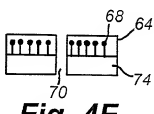
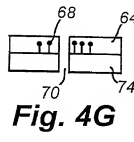
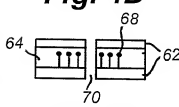
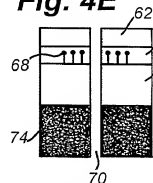
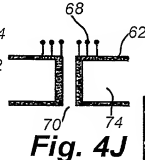
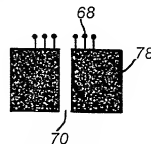
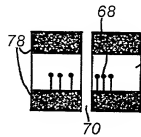
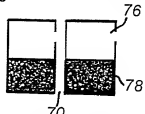
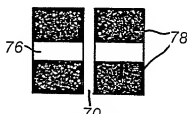
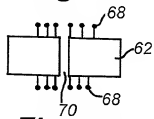
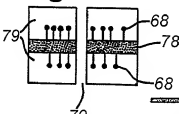
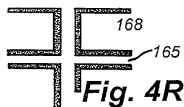
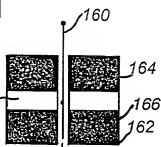
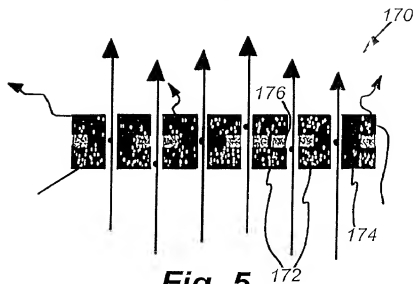
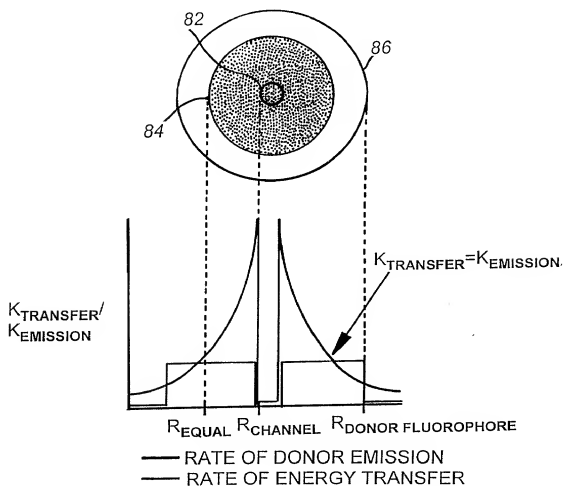
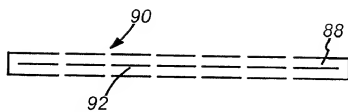
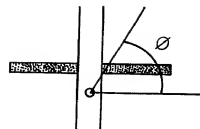
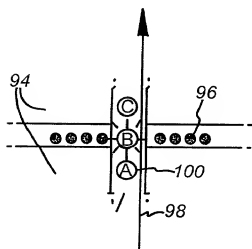


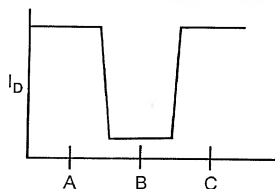
Fig. 3

**Fig. 4A****Fig. 4B****Fig. 4C****Fig. 4D****Fig. 4E****Fig. 4F****Fig. 4G****Fig. 4H****Fig. 4I****Fig. 4J****Fig. 4K****Fig. 4L****Fig. 4M****Fig. 4N****Fig. 4O****Fig. 4P****Fig. 4R****Fig. 4Q****Fig. 4**

**Fig. 5****Fig. 6**

**Fig. 7A****Fig. 7B****Fig. 7****Fig. 8A**

DONOR INTENSITY vs. POSITION
OF FLUOROPHORE RELATIVE
TO LAYERS OF NANOCANNEL

**Fig. 8B****Fig. 8**

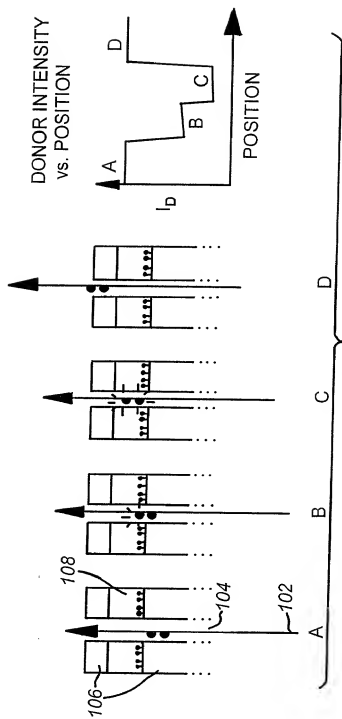


Fig. 9

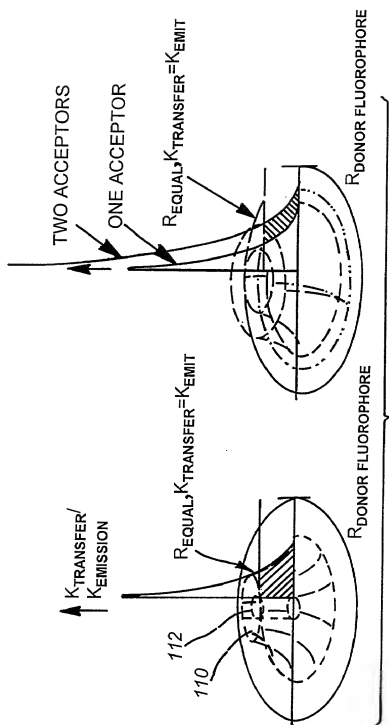
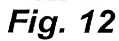


Fig. 10



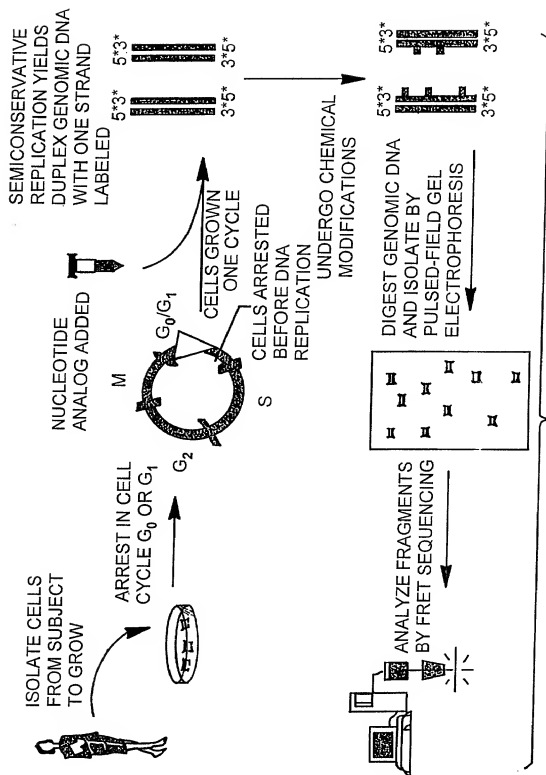
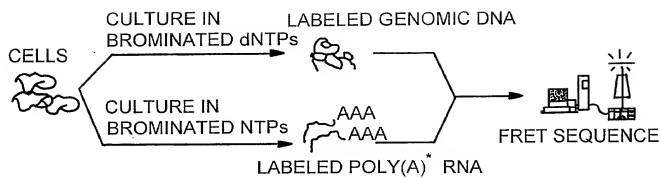


Fig. 14

**Fig. 15**